

ANEXOS

Anexo A

Referente al primer capítulo.

Anexo B.

Referente al segundo capítulo.

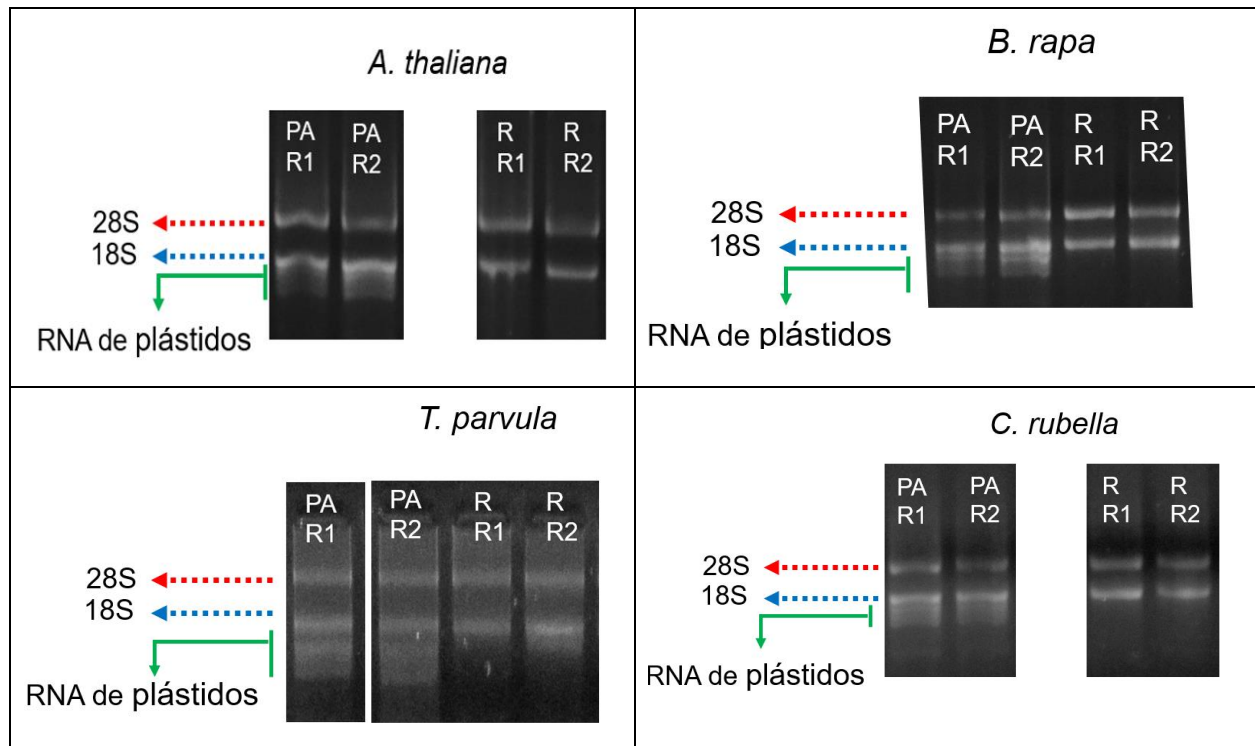


Figura suplementaria 1. Integridad del RNA en geles de agarosa al 1.5% de las especies estudiadas. Las raíces presentan dos bandas características al 28S y 18S, mientras que la parte aérea presenta bandas adicionales pertenecientes a RNA de plástidos. PA: parte aérea, R: raíz y las réplicas biológicas son representadas como R1 y R2.

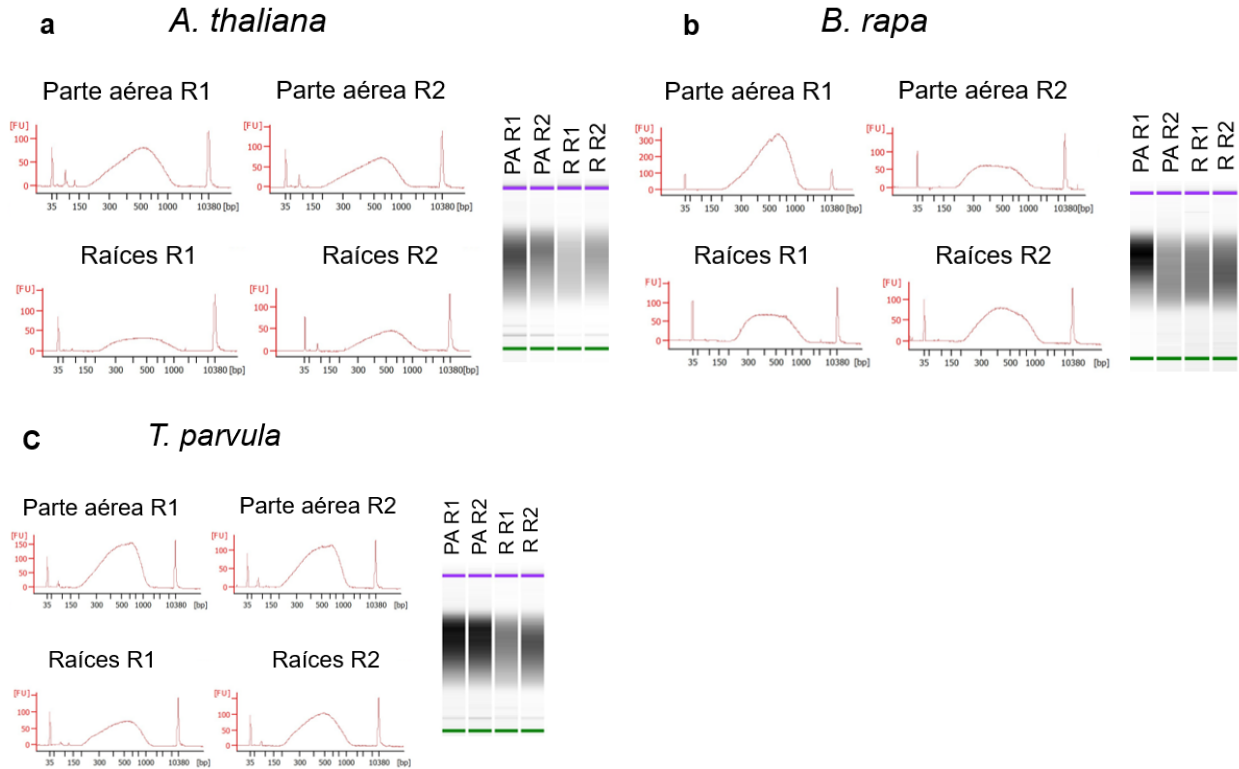


Figura suplementaria 2. Distribución de los fragmentos en las diferentes especies por Bioanalyzer. Las especies analizadas fueron: a) *A. thaliana*, b) *B. rapa*, c) *T. parvula*, d) *C. rubella*, e) *B. oleracea* y f) X. En el eje “X” se muestran las pares de bases (bp), y en el eje “Y” las unidades arbitrarias de fluorescencia (FU). La barra lateral se muestra la distribución en representación de un gel con un marcador de peso superior (lila) con un peso 10380 bp y uno inferior (verde) con un peso de 35 bp. Ambos marcadores se encuentran señalados en la gráfica de la derecha. PA: parte aérea, R: raíz y las réplicas biológicas son representadas como R1 y R2.



Figura suplementaria 3. Calidad de las bibliotecas.

Tabla suplementaria 1. Concentraciones de RNA obtenidas para cada especie en el NanoDrop.

Grupos	Número de muestra	Especie	Material biológico	Unidades procesadas	Extracciones combinadas	Replica biológica	Concentración [ng/μL]	260/280	RNA total [ng]
1	1	<i>A. thaliana</i>	parte aérea	40	4	1	344.9	1.83	10,347
	2	<i>A. thaliana</i>	parte aérea	40	4	2	177.7	2.05	5,331
	3	<i>A. thaliana</i>	raíces	160	8	1	198.7	1.97	5,961
	4	<i>A. thaliana</i>	raíces	160	8	2	150.7	2.11	4,521
	5	<i>B. rapa</i>	parte aérea	20	4	1	134.2	1.9	4,026
	6	<i>B. rapa</i>	parte aérea	20	4	2	350.1	1.96	10,503
	7	<i>B. rapa</i>	raíces	80	8	1	131.2	1.96	3,936
	8	<i>B. rapa</i>	raíces	80	8	2	105.7	1.96	3,171
	9	<i>T. parvula</i>	parte aérea	30	3	1	210.8	1.99	6,324
	10	<i>T. parvula</i>	parte aérea	30	3	2	235.9	1.98	7,077
	11	<i>T. parvula</i>	raíces	80	8	1	63.68	1.94	1,910.4
	12	<i>T. parvula</i>	raíces	80	8	2	60.88	1.97	1,826.4
2	13	<i>C. rubella</i>	parte aérea	60	4	1	1741	1.5	52,230
	14	<i>C. rubella</i>	parte aérea	60	4	2	286.8	1.99	8,604
	15	<i>C. rubella</i>	parte aérea	60	4	3	198.6	1.85	5,958
	16	<i>C. rubella</i>	raíces	120	4	1	54.98	1.86	1,649.4
	17	<i>C. rubella</i>	raíces	120	4	2	105	1.89	3,150
	18	<i>C. rubella</i>	raíces	120	4	3	119.8	1.89	3,594

Tabla suplementaria 2. Concentraciones de RNA obtenidas para cada especie en el NanoDrop.

Etiqueta	Especie	Órganos	Replica biológica	M Seqs
KO84	<i>A. thaliana</i>	Parte aérea	1	36.1
KO85	<i>A. thaliana</i>	Parte aérea	2	49.8
KO86	<i>A. thaliana</i>	Raíces	1	40.5
KO87	<i>A. thaliana</i>	Raíces	2	40.2
KO88	<i>B. rapa</i>	Parte aérea	1	42.6
KO89	<i>B. rapa</i>	Parte aérea	2	42.9
KO90	<i>B. rapa</i>	Raíces	1	40.1
KO91	<i>B. rapa</i>	Raíces	2	41.6
KO92	<i>T. parvula</i>	Parte aérea	1	38
KO93	<i>T. parvula</i>	Parte aérea	2	43.1
KO94	<i>T. parvula</i>	Raíces	1	48.1
KO95	<i>T. parvula</i>	Raíces	2	40.1

